

1. Seja o problema misto definido em um domínio $\Omega \subset \mathbb{R}^d$ com contorno $\partial\Omega$:

$$\begin{aligned} \mathbf{u} &= -\nabla p & \text{em } \Omega \\ \operatorname{div} \mathbf{u} &= f & \text{em } \Omega \\ p &= 0 & \text{sobre } \partial\Omega \end{aligned} \quad (1)$$

a) Para apresentar a formulação mista dual para o problema (1), é preciso multiplicar as duas equações que definem o problema por uma função :

$$\mathbf{u} \mathbf{v} = -\nabla p v \quad , \forall v \in V \quad (2)$$

$$\operatorname{div} \mathbf{u} q = f q \quad , \forall q \in Q \quad (3)$$

Integrando as duas equações:

$$\int_{\Omega} u v dx + \int_{\Omega} \nabla p v dx = 0 \quad , \forall v \in V \quad (4)$$

$$\int_{\Omega} \operatorname{div} \mathbf{u} q dx - \int_{\Omega} f q dx = 0 \quad , \forall q \in Q \quad (5)$$

Aplicando o processo de integração por partes na equação (4), tem-se:

$$\int_{\Omega} u v dx - \int_{\Omega} p \operatorname{div} v dx + \int_{\partial\Omega} p v nds = 0 \quad , \forall v \in V \quad (6)$$

$$\int_{\Omega} \operatorname{div} \mathbf{u} q dx - \int_{\Omega} f q dx = 0 \quad , \forall q \in Q \quad (7)$$

Como a definição do problema descrito em (1), temos que $p = 0$ sobre $\partial\Omega$, podemos aplicar a condição de contorno na formulação, anulando a parcela em que p é integrado no contorno:

$$\int_{\Omega} u v dx - \int_{\Omega} p \operatorname{div} v dx = 0 \quad , \forall v \in V \quad (8)$$

$$\int_{\Omega} \operatorname{div} \mathbf{u} q dx - \int_{\Omega} f q dx = 0 \quad , \forall q \in Q \quad (9)$$

Dada a formulação mista dual descrita nas equações (8) e (9), os espaços são definidos como:

$$\begin{aligned} U &= \{u \in H(\operatorname{div})\} \\ V &= \{v \in H(\operatorname{div})\} \\ P &= \{p \in L^2(\Omega)\} \\ Q &= \{q \in L^2(\Omega)\} \end{aligned}$$

b) Busca-se escrever o problema nas formas bilineares $a(\cdot, \cdot)$ e $b(\cdot, \cdot)$ e lineares $f(\cdot)$ e $g(\cdot)$ para reformulação do problema na forma:

$$\begin{aligned} a(u, v) + b(p, v) &= g(v) \\ b(q, u) &= f(q) \end{aligned}$$

Dessa forma temos que:

$$a(u, v) = \int_{\Omega} uv dx \quad (10)$$

$$b(p, v) = - \int_{\Omega} p \operatorname{div} v dx \quad (11)$$

$$f(q) = - \int_{\Omega} f q dx \quad (12)$$

$$g(v) = 0 \quad (13)$$

- c) Uma forma de resolução desse problema (1) é através da adição de termos de estabilização de mínimos quadrados como:

$$-\frac{1}{2} \int_{\Omega} (\mathbf{u} + \nabla p) \cdot (\mathbf{v} + \nabla q) dx$$

para que seja possível modificar os espaços U e Q para que seja possível a resolução do problema.

Dessa forma, as formas bilineares sofrem a seguinte alteração:

$$a(u, v) = \int_{\Omega} uv dx - \frac{1}{2} \int_{\Omega} uv dx \quad (14)$$

$$b(p, v) = - \int_{\Omega} p \operatorname{div} v dx - \frac{1}{2} \int_{\Omega} \nabla p v dx \quad (15)$$

$$c(p, q) = \frac{1}{2} \int_{\Omega} \nabla p \nabla q dx \quad (16)$$

$$f(q) = - \int_{\Omega} f q dx \quad (17)$$

$$g(v) = 0 \quad (18)$$

Dessa forma, temos que os espaços:

$$\begin{aligned} U &= \{u \in H(\operatorname{div})\} \\ V &= \{u \in H(\operatorname{div})\} \\ Q &= \{q \in H^1(\Omega)\} \\ P &= \{p \in H^1(\Omega)\} \end{aligned}$$

Após a estabilização, os espaços U e P são compatíveis, permitindo a utilização de bases de Lagrange para resolução do problema.

- d) Restringindo o problema (1) ao caso unidimensional:

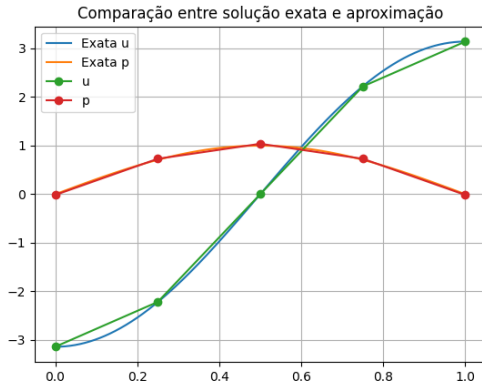
$$\begin{aligned} u &= -\frac{dp}{dx} \\ \frac{du}{dx} &= f \end{aligned}$$

Tomando a solução exata $p = \sin(\pi x)$ no intervalo $\Omega = [0, 1]$, temos que:

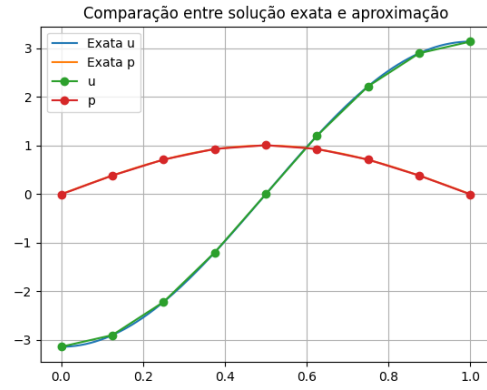
$$u = -\pi \cos(\pi x) \quad (19)$$

$$f = \pi^2 \sin(\pi x) \quad (20)$$

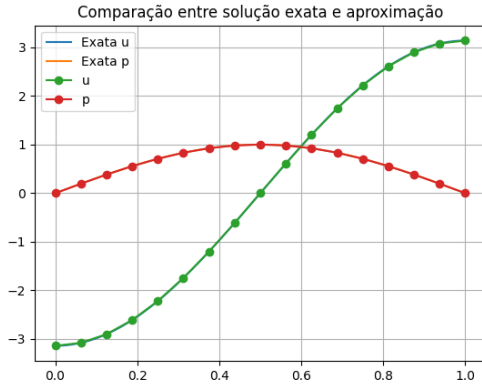
Com isso, é possível implementar a formulação estabilizada obtida no item (c) e comparar a aproximação obtida com a solução exatas para ambas as variáveis:



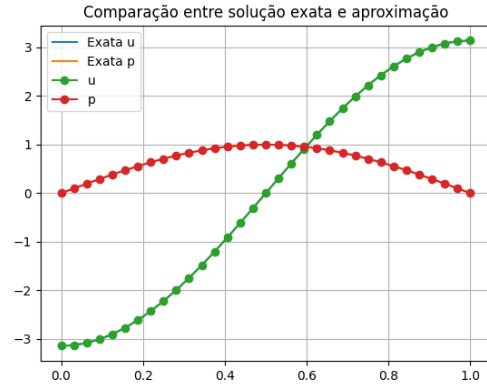
(a)



(b)



(c)



(d)

Figura 1: Comparação entre aproximações e soluções exatas para as duas variáveis em estudos com 4(a), 8(b), 16(c) e 32(d) elementos.

- e) Calculando o erro da aproximação em relação a solução exata do problema a partir da norma L_2 , é possível estabelecer taxa de convergência da aproximação a partir da análise do decaimento do erro a medida do aumento do número de elementos utilizados para aproximar a solução.

$$taxa_{convergencia} = \frac{\log(erros(nel2)) - \log(erros(nel1))}{\log(nel2) - \log(nel1)} \quad (21)$$

Sendo $nel1$ e $nel2$ os números de elementos utilizados em duas execuções da aproximação e $erros(nel1)$ e $erros(nel2)$ os valores de erro na norma de L2 obtidos respectivamente.

Dessa forma, é possível construir um gráfico para demonstrar a convergência da solução:

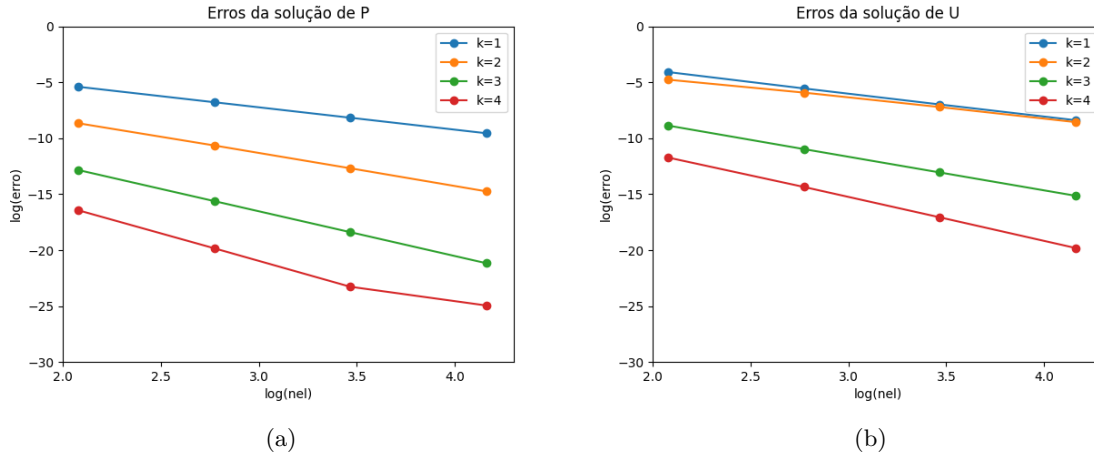


Figura 2: Gráficos demonstrando o decaimento do erro para as aproximações com bases de LaGrange de grau k para as duas variáveis do problema (1)

Nos gráficos obtidos em (3) é possível observar a taxa de convergência calculada em (21) através da inclinação das retas. O valor da taxa de convergência é numericamente igual a tangente do ângulo das retas com o eixo das abscissas.

Dessa forma, observa-se que para a solução de p o erro decai na ordem de $k + 1$, já que para $k=1$ a taxa obtida foi de 1.99, para $k=2$ a taxa obtida foi de 2.88, para $k=3$ a taxa obtida foi de 4.0 e para $k=4$ a taxa obtida foi de 4.89.

Já para a solução de u observa-se que o erro decai na ordem de k já que para $k=1$, a taxa obtida foi de 2.0, para $k=2$ a taxa foi de 1.67, para $k=3$ a taxa foi de 3.0 e para $k=4$ a taxa foi de 3.78. Para $k=1$, é obtido também taxa ótima como esperado por essa estabilização apesar de não haver comprovação de que isso ocorra sempre.

- f) O termo de estabilização apresentado no item (e) não é o único que pode ser adicionado para resolução do problema (1). Outra opção, que pode ser adicionada junto ao outro termo de estabilização é:

$$\frac{1}{2} \int_{\Omega} \left(\frac{du}{dx} - f \right) \frac{dv}{dx} dx$$

Ao adicionar esse segundo termo de estabilização e realizando novamente o estudo de convergência, obtém-se:

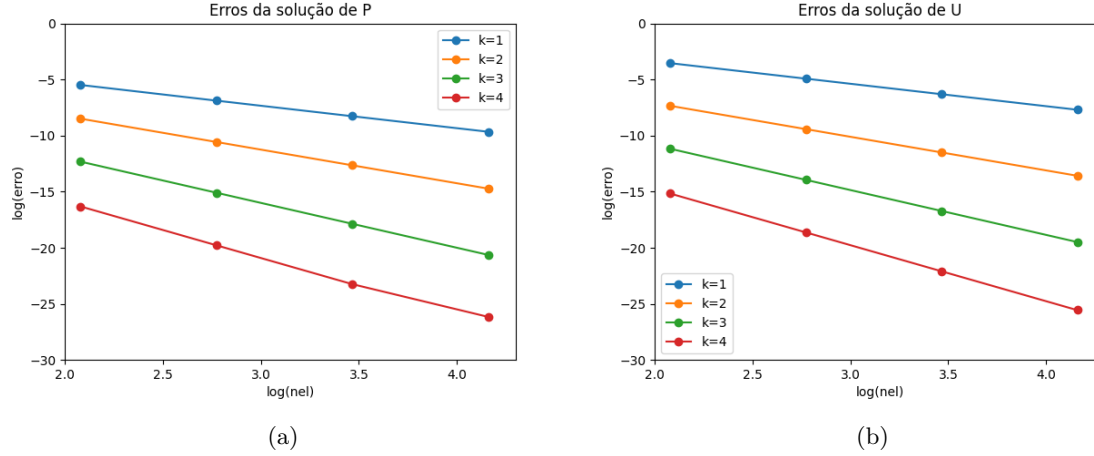


Figura 3: Gráficos demonstrando o decaimento do erro para as aproximações com bases de LaGrange de grau k para as duas variáveis do problema (1) com os dois termos de estabilização

Observa-se que nesse caso, o erro decai tanto para a variável u quanto para a variável v em taxa ótima $k+1$.

- g) É interessante anular os termos de estabilização incluídos nos itens (c) e (f) para observar os resultados. Porém, ao anular esses termos, o método de elementos finitos não resolve o problema (1).

Isso se deve ao fato, do problema original formulado em (a) possui espaços definidos para V e Q de forma que é necessário satisfazer as seguintes condições:

- i) Para todo $v \in V$ e para todo $q \in Q$:

$$\nabla v = q \quad (22)$$

- ii) Para todo $q \in Q$ e para todo $v \in V$:

$$\nabla q = v \quad (23)$$

E não é possível satisfazer ambas as condições com bases de aproximação de LaGrange. Ao aplicar termos de estabilização na formulação do problema, o que ocorre é o enfraquecimento dessas condições, tornando possível aproximar o problema utilizando bases de LaGrange.

2. Partindo da formulação mista dual para o problema (1), estabilizada pelos termos

i) $-\frac{1}{2} \int_{\Omega} (\mathbf{u} + \nabla p) \cdot (\mathbf{v} + \nabla q) d\mathbf{x}$

ii) $\frac{1}{2} \int_{\Omega} (\text{div } \mathbf{u} - f)(\text{div } \mathbf{v}) d\mathbf{x}$

iii) $\frac{1}{2} \int_{\Omega} (\nabla \times \mathbf{u})(\nabla \times \mathbf{v}) d\mathbf{x}$

é possível demonstrar a continuidade e a estabilidade pelo Teorema de Babuška.

Segundo o Teorema de Babuška, para assegurar a continuidade das formas $A(X, Y)$ e $F(y)$ é necessário se as hipóteses são satisfeitas:

$$|A(X, Y)| \leq M \|X\|_U \|Y\|_V, \quad \forall [X, Y] \in U \times V \quad (24)$$

Para algum $0 < M < \infty$.

$$|F(Y)| \leq C \|Y\|_V, \quad \forall Y \in V \quad (25)$$

Para algum $0 < C < \infty$.

Para assegurar a estabilidade, busca-se satisfazer as seguintes hipóteses:

$$\sup_{X \in U} \frac{A(X, y)}{\|X\|_U} \geq \alpha_1 \|Y\|_V, \quad \forall Y \in Y \times V \quad (26)$$

$$\sup_{X \in U} \frac{A(X, y)}{\|Y\|_Y} \geq \alpha_1 \|X\|_U, \quad \forall X \in U \quad (27)$$

Para o problema (1) descrito na forma mista dual (9) e com os termos de estabilização i), ii) e iii), busca-se encontrar $[u, p] \in U \times Q$, tal que:

$$A([u, p], [v, q]) = F([v, q]) \quad , \quad \forall [u, p] \in U \times Q \quad (28)$$

Sendo os espaços:

$$U = Q = H^2(\Omega) \quad (29)$$

E as formas A e F:

$$A([u, p], [v, q]) = \frac{1}{2} \left(\int_{\Omega} uv dx + \int_{\Omega} \nabla p v dx + \int_{\Omega} \nabla q u dx - \int_{\Omega} \nabla p \nabla q dx + \int_{\Omega} \text{div} u \text{div} v dx + \int_{\Omega} \text{rot} u \text{rot} v \right) \quad (30)$$

$$F([v, q]) = - \int_{\Omega} f q dx + \frac{1}{2} \int_{\Omega} f \text{div} v dx \quad (31)$$

Além disso, vale anotar que a norma mista associada aos espaços U e V é:

$$\|[v, q]\|_{U \times Q}^2 = \|v\|_0^2 + \|\text{div} v\|_0^2 + \|\nabla q\|_0^2 + \|\text{rot} v\|_0^2 \quad (32)$$

Assim, para comprovar a continuidade da forma A:

$$|A([u, p], [v, q])| \leq \frac{1}{2} (\|u\|_0 \|v\|_0 + \|\nabla p\|_0 \|v\|_0 + \|\nabla q\|_0 \|u\|_0 + \|\nabla p\|_0 \|\nabla q\|_0 + \|\text{div} u\|_0 \|\text{div} v\|_0 + \|\text{rot} u\|_0 \|\text{rot} v\|_0) \quad (33)$$

Como temos que:

$$||[u, p]||_{U \times Q} ||[v, q]||_{U \times Q} = ||u||_0 ||v||_0 + ||\nabla p||_0 ||v||_0 + ||\nabla q||_0 ||u||_0 + ||\nabla p||_0 ||\nabla q||_0 + ||div u||_0 ||div v||_0 + ||rot u||_0 + ||rot v||_0 \quad (34)$$

é possível concluir que $M = 1/2$ satisfaz a condição de continuidade para a forma A.

Fazendo a análise da continuidade da forma F:

$$|F(v, q)| = ||f||_0 ||q||_0 + \frac{1}{2} ||f||_0 ||div v||_0 \leq ||f||_0 ||q||_0 + \frac{1}{2} ||f||_0 ||div v||_0 \quad (35)$$

$$||f||_0 ||q||_0 + \frac{1}{2} ||f||_0 ||div v||_0 \leq ||f||_0 (||q||_0 + ||div v||_0) \leq C ||[v, q]||_{U \times Q} \quad (36)$$

Dessa forma, é possível afirmar que a forma F é contínua, já que $C = ||f||_0$ satisfaz a condição de Babuška como demonstrado em (36).

Para atestar a estabilidade da forma A, de acordo com o Teorema descrito em (26) temos:

$$\sup_{X \in U} \frac{|A([u, p], [v, q])|}{||[v, q]||_{U \times Q}} \geq \frac{|A([u, p], [u, -p])|}{||[u, -p]||_{U \times Q}} \quad (37)$$

$$\frac{|A([u, p], [u, -p])|}{||[u, -p]||_{U \times Q}} = \frac{1}{2} \frac{|\int_{\Omega} u^2 dx + \int_{\Omega} p div u dx - \int_{\Omega} p div u dx + \int_{\Omega} \nabla p \nabla p dx + \int_{\Omega} div u div u dx + \int_{\Omega} rot u rot u dx|}{||[u, p]||_{U \times Q}} \quad (38)$$

$$\frac{|A([u, p], [u, -p])|}{||[u, -p]||_{U \times Q}} = \frac{1}{2} \frac{|\int_{\Omega} u^2 dx + \int_{\Omega} \nabla p \nabla p dx + \int_{\Omega} div u div u dx + \int_{\Omega} rot u rot u dx|}{||[u, p]||_{U \times Q}} \quad (39)$$

$$\frac{|A([u, p], [u, -p])|}{||[u, -p]||_{U \times Q}} = \frac{1}{2} \frac{||[u, p]||_{U \times Q}^2}{||[u, p]||_{U \times Q}} \quad (40)$$

$$\frac{|A([u, p], [u, -p])|}{||[u, -p]||_{U \times Q}} = \frac{1}{2} ||[u, p]||_{U \times Q}^2 \quad (41)$$

Assim, relacionando a equação (41) e (37) com o teorema (26) é possível afirmar que o problema é estável com o coeficiente $\alpha = \frac{1}{2}$, logo a estabilização é contínua e estável, possuindo então apenas uma solução.